



## Regelung eines inversen Pendels

NI Dozenten- und Ausbildertag 2010  
Fürstenfeldbruck

# Anwendungsgebiete in der Forschung des Instituts für Mess-, Regel- und Mikrotechnik

## Fahrerassistenzsysteme



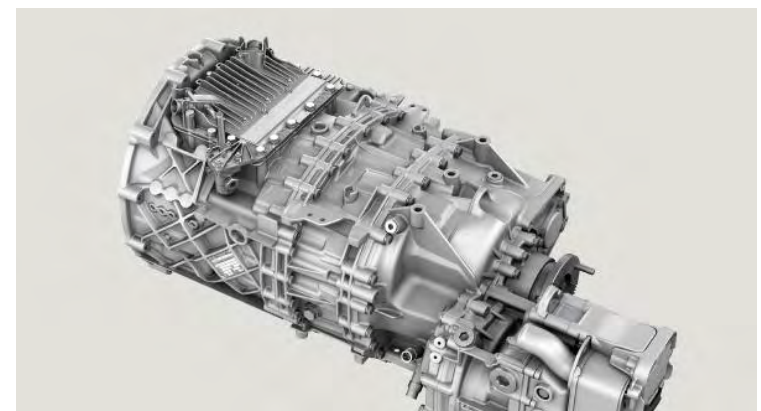
## Medizintechnik



## E-Mobility



## Mechatronische Systeme



# Ausstattung und Lehrangebot des Instituts für Mess-, Regel- und Mikrotechnik

## Personelle Ausstattung

- 2 Professuren (W3)
- 1 Akademischer Rat
- zurzeit 14 Wiss. Mitarbeiter
- Sekretariat
- 4 FH-Ingenieure /Techniker

## Praktika

- Mess- und Automatisierungstechnik
- Regelungstechnik
- Projekt Autonomes Fahrzeug

## Vorlesungsangebot

- Elektrische Messtechnik
- Messtechnik II
- Einführung Regelungstechnik
- Systemtheorie
- Digitale Regelung
- Nichtlineare Regelung
- Automatisierungstechnik
- Filter- und Trackingverfahren
- Modellbildung dyn. Systeme
- Identifikation dyn. Systeme
- Methoden der Optimierung und optimalen Steuerung



## Motivation und Ziele

### Inverses Pendel im Praktikum Regelungstechnik:

- praktische Umsetzung der Regelverfahren aus den Vorlesungen durch Studenten
  - Interesse für weiterführende Vorlesungen wecken
  - Verwendung von LabVIEW mit Echtzeit-Hardware für breiten Überblick
- Stabilisierung des Pendels um die obere Ruhelage (linear)

### Inverses Pendel als Demonstrator:

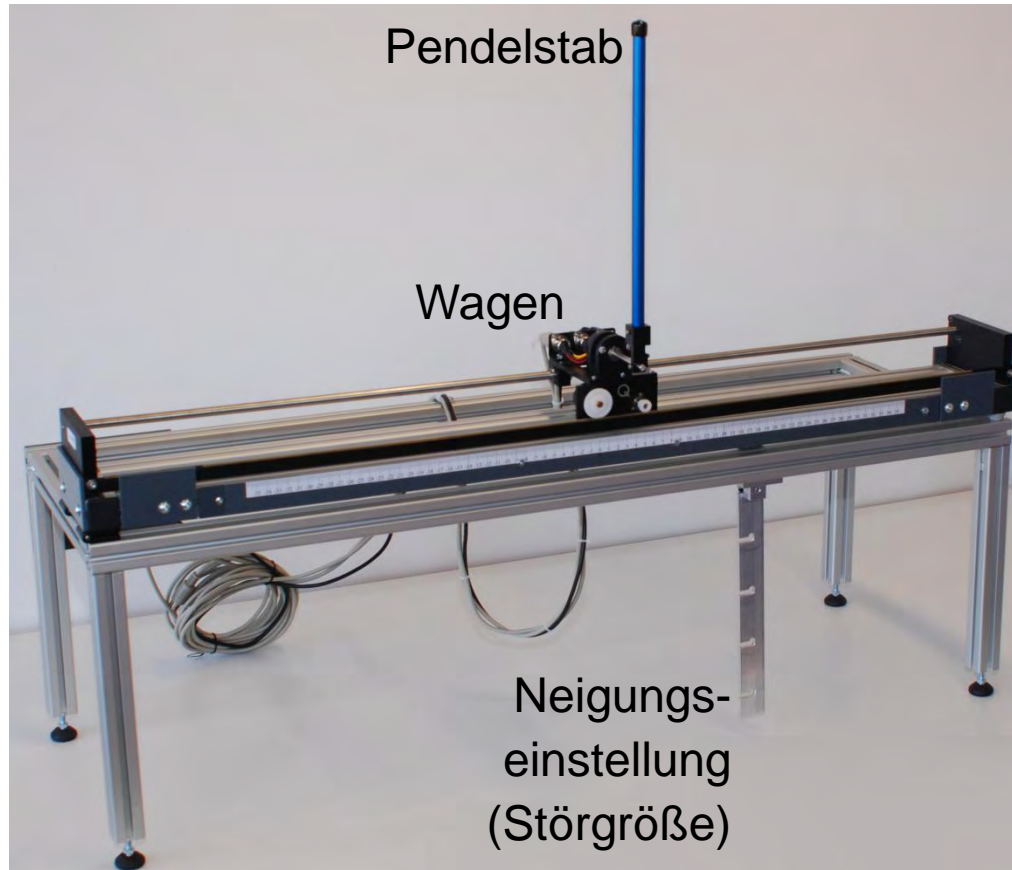
- Blickfang bei Bildungsmessen und Schülerführungen
  - Nichtlineares System als typischer Benchmark für neu entwickelte Regelverfahren
- zusätzlich Aufschwingen des Pendels (nichtlinear)

# Überblick

- Modellierung des Pendels
- Beobachterentwurf
- lineare Zustandsregler
  - Riccati-Regler (LQ-Regler)
  - PI-Zustandsregler
- Zusammenfassung Praktikumsversuch
- Ausblick auf nichtlineare Regelung



## Modellierung des Pendels: Laboraufbau

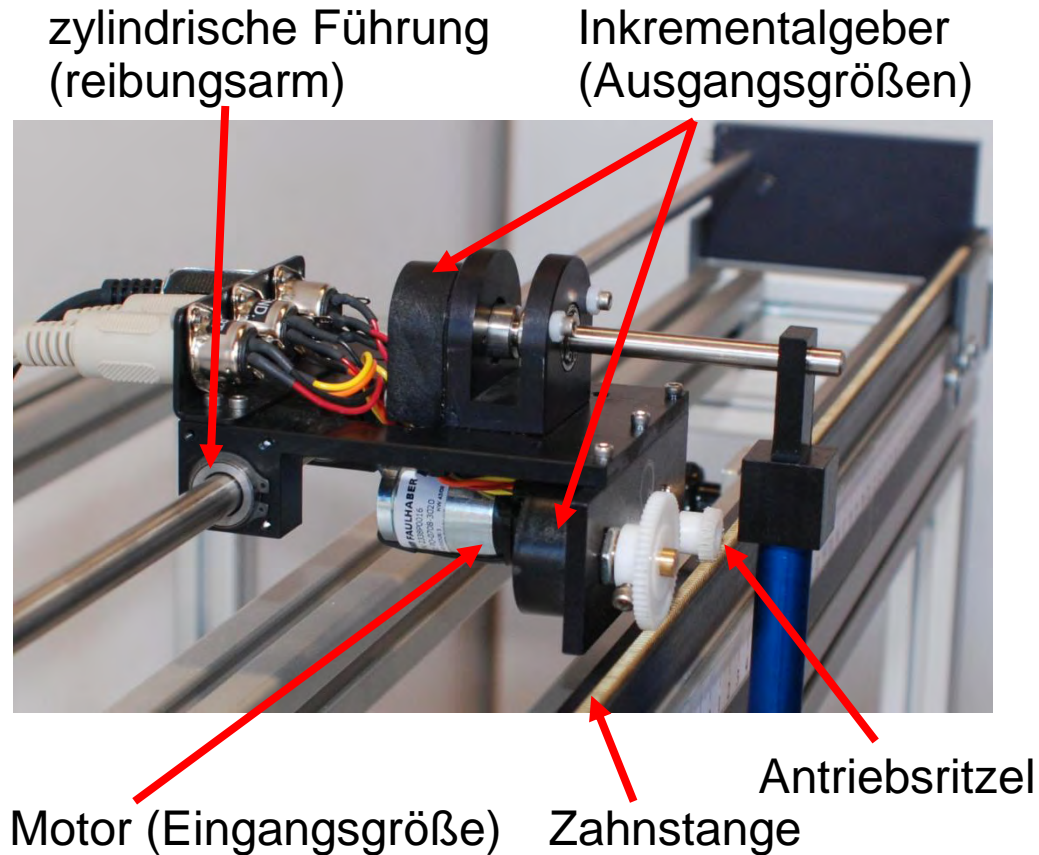


NI-PXI-System



Servoverstärker

## Modellierung des Pendels: Laboraufbau

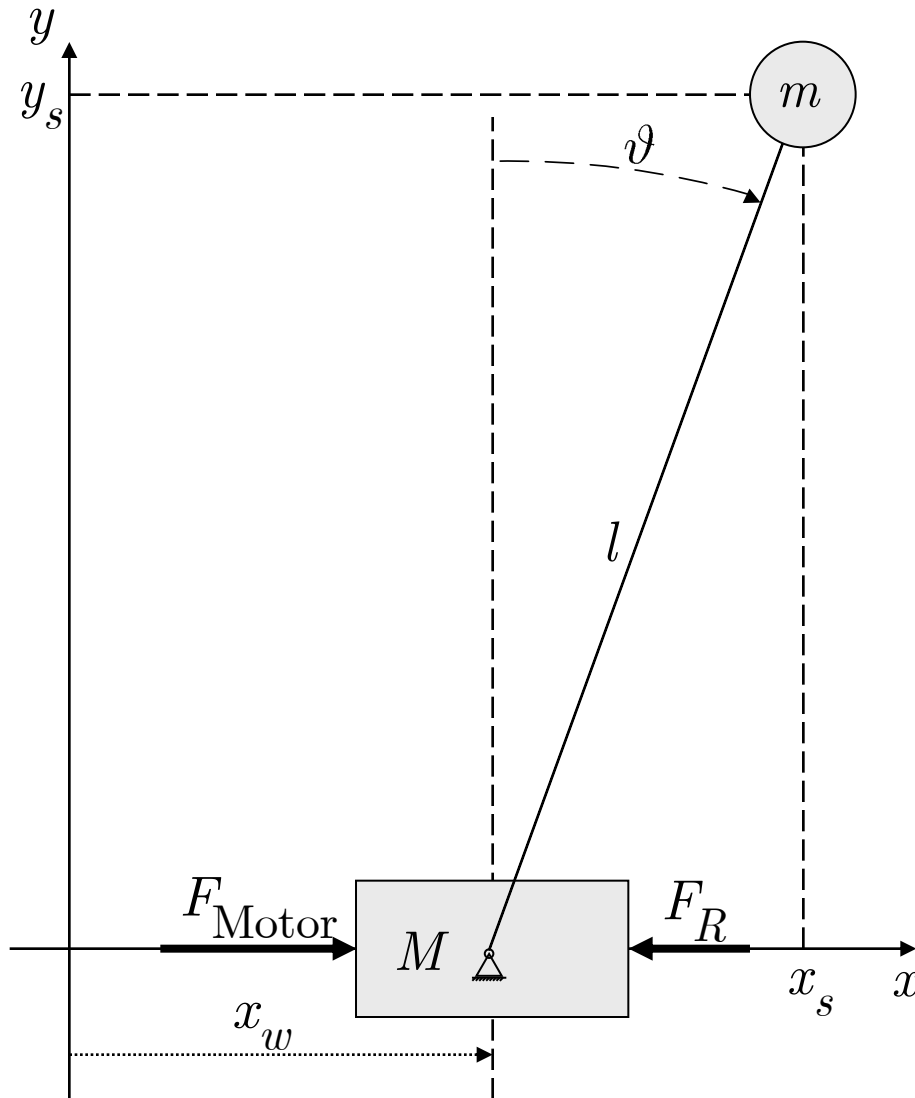


NI-PXI-System



Servoverstärker

## Modellierung des Pendels: Schematische Darstellung



Punktmasse  $m$  mit Abstand  $l$   
(starre Verbindung) statt  
Pendelstab der Länge  $2l$  und  
Masse  $m$

Modellierung in vier Teilschritten  
durch Freischneiden:

1. Motor und Getriebe
2. Wagenbewegung
3. Pendelbewegung
4. Reibung



## Modellierung des Pendels: Teilmodelle 1 (Motor und Getriebe)

### Gleichstrommotor:

$$U_A = R_M \cdot I_A + k_M \cdot \Omega$$

$$M_{\text{Motor}} = k_M \cdot I_A$$

$k_M$  Drehmomentkonstante

$\Omega$  Motordrehzahl

$M_{\text{Motor}}$  Motormoment

$U_A$  Ankerspannung

$R_M$  Ankerwiderstand

$I_A$  Ankerstrom

$k_G$  Übersetzungsverhältnis

$r_{\text{Antrieb}}$  Radius Antriebsrad

### Getriebe:

$$M_{\text{Motor}} = \frac{F_{\text{Motor}} \cdot r_{\text{Antrieb}}}{k_G}$$

$$\Omega = \frac{\dot{x}_w \cdot k_G}{r_{\text{Antrieb}}}$$

### Gleichung Teilmodell 1:

$$F_{\text{Motor}} = \frac{k_M \cdot k_G}{R_M \cdot r_{\text{Antrieb}}} \cdot U_A - \frac{k_M^2 \cdot k_G^2}{R_M \cdot r_{\text{Antrieb}}} \cdot \dot{x}_w$$

## Modellierung des Pendels: Teilmodelle 2 und 3 (Wagen- und Pendelbewegung)

### Wagenbewegung

aus der Kräftebilanz (nur x-Komponenten) am Wagen folgt

$$\ddot{x}_w = \frac{F_{\text{Motor}} - F_R}{M + m} + \frac{m \cdot l}{M + m} \dot{\vartheta}^2 \cdot \sin(\vartheta) - \ddot{\vartheta} \cdot \cos(\vartheta)$$

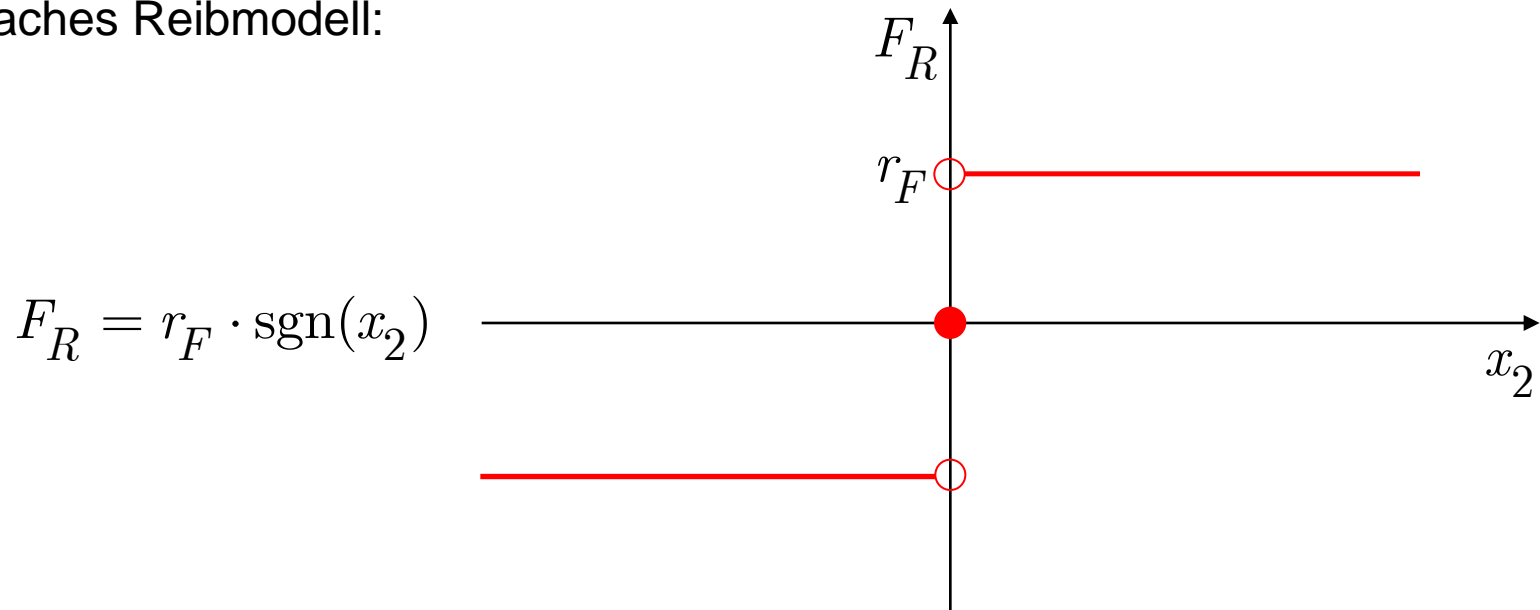
### Pendelbewegung

aus der Momentenbilanz / dem Drehimpulssatz folgt

$$\ddot{\vartheta} = \frac{-l \cdot \cos(\vartheta) \cdot m \cdot \ddot{x}_w + m \cdot g \cdot l \cdot \sin(\vartheta)}{J}$$

## Modellierung des Pendels: Teilmodell 4 (Reibung)

einfaches Reibmodell:



in der Realität: Reibung geschwindigkeits- und ortsabhängig  
→ Kennwert  $r_F$  als Mittelwert aus mehreren Messungen

Berücksichtigung der Reibung wegen Linearisierung **nicht im Modell**,  
sondern Kompensation über die Eingangsgröße (Spannung)

## Modellierung des Pendels: Gesamtmodell in Zustandsraumdarstellung

nichtlineares System 4. Ordnung:

$$\begin{bmatrix} \dot{x}_1 \\ \dot{x}_2 \\ \dot{x}_3 \\ \dot{x}_4 \end{bmatrix} = \begin{bmatrix} x_2 \\ f_2(\underline{x}) \\ x_4 \\ f_4(\underline{x}) \end{bmatrix} + \begin{bmatrix} 0 \\ g_2(\underline{x}) \\ 0 \\ g_4(\underline{x}) \end{bmatrix} \cdot u$$

$$\underline{y} = \begin{bmatrix} 1 & 0 & 0 & 0 \\ 0 & 0 & 1 & 0 \end{bmatrix} \cdot \underline{x}$$

Zustandsgrößen:

$$\begin{aligned} x_1 &= x_w & x_3 &= \vartheta \\ x_2 &= \dot{x}_w & x_4 &= \dot{\vartheta} \end{aligned}$$

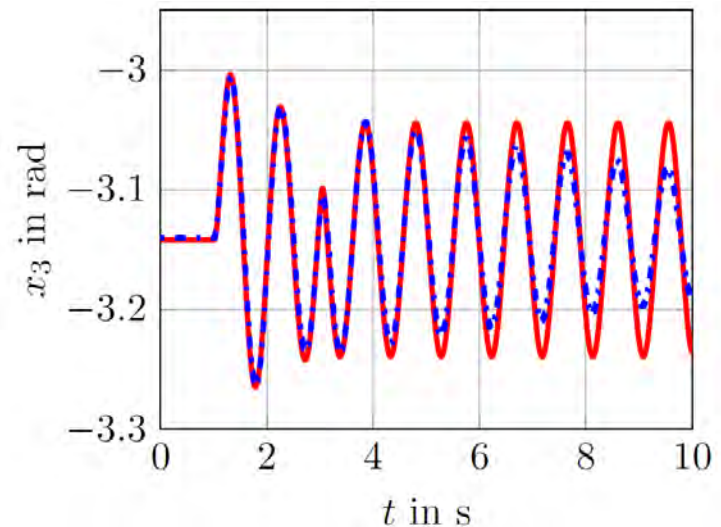
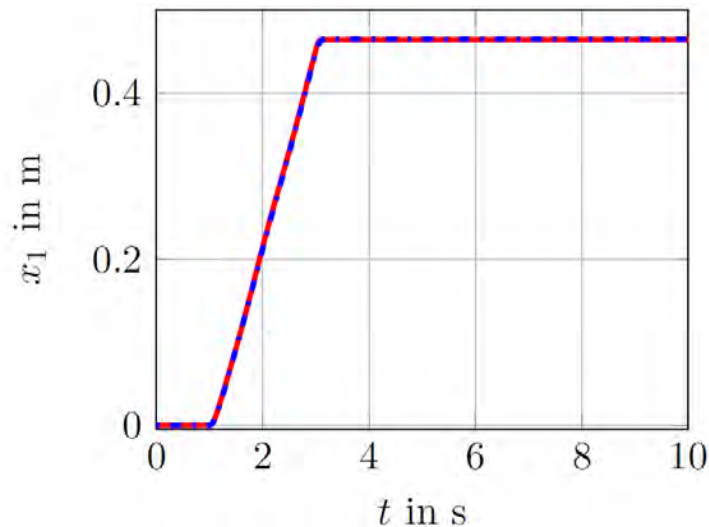
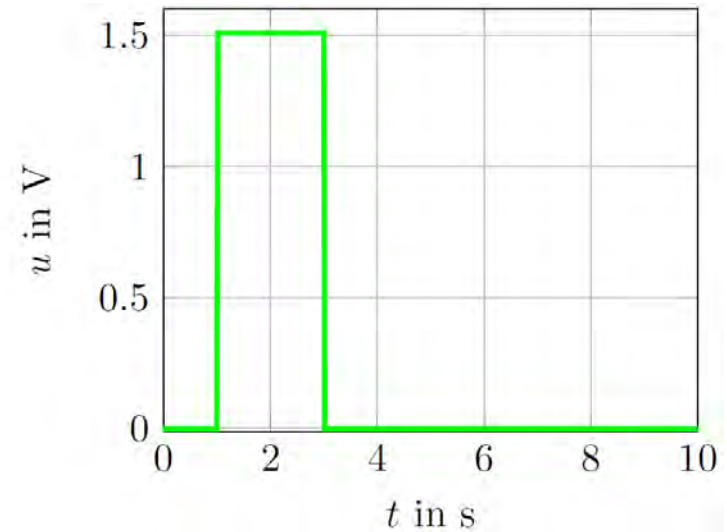
Stellgröße:

$$u = U_A$$



## Modellierung des Pendels: Modellvalidierung

Vergleich von Simulation und  
Messung bei identischem  
Eingangssignal  
(Reibung nicht im Modell):



## Modellierung des Pendels: Linearisierung des Gesamtmodells

Linearisierung um obere Ruhelage ( $\underline{x}_R = \underline{0}$ ,  $u_R = 0$ ) ergibt:

$$\begin{bmatrix} \dot{x}_1 \\ \dot{x}_2 \\ \dot{x}_3 \\ \dot{x}_4 \end{bmatrix} = \begin{bmatrix} 0 & 1 & 0 & 0 \\ 0 & a_{22} & a_{23} & 0 \\ 0 & 0 & 0 & 1 \\ 0 & a_{42} & a_{43} & 0 \end{bmatrix} \underline{x} + \begin{bmatrix} 0 \\ b_2 \\ 0 \\ b_4 \end{bmatrix} \cdot u \quad \underline{y} = \begin{bmatrix} 1 & 0 & 0 & 0 \\ 0 & 0 & 1 & 0 \end{bmatrix} \cdot \underline{x}$$

$$a_{22} = -\frac{J \cdot k_M^2 \cdot k_G^2}{R_M \cdot r_{\text{Antrieb}}^2 \cdot (J \cdot (M + m) - m^2 \cdot l^2)}$$

$$a_{23} = -\frac{m^2 \cdot l^2 \cdot g}{J \cdot (M + m) - m^2 \cdot l^2}$$

$$a_{42} = \frac{m \cdot l \cdot k_M^2 \cdot k_G^2}{R_M \cdot r_{\text{Antrieb}}^2 \cdot (J \cdot (M + m) - m^2 \cdot l^2)}$$

$$a_{43} = \frac{(M + m) \cdot m \cdot l \cdot g}{J \cdot (M + m) - m^2 \cdot l^2}$$

$$b_2 = \frac{J \cdot k_M \cdot k_G}{R_M \cdot r_{\text{Antrieb}}^2 \cdot (J \cdot (M + m) - m^2 \cdot l^2)}$$

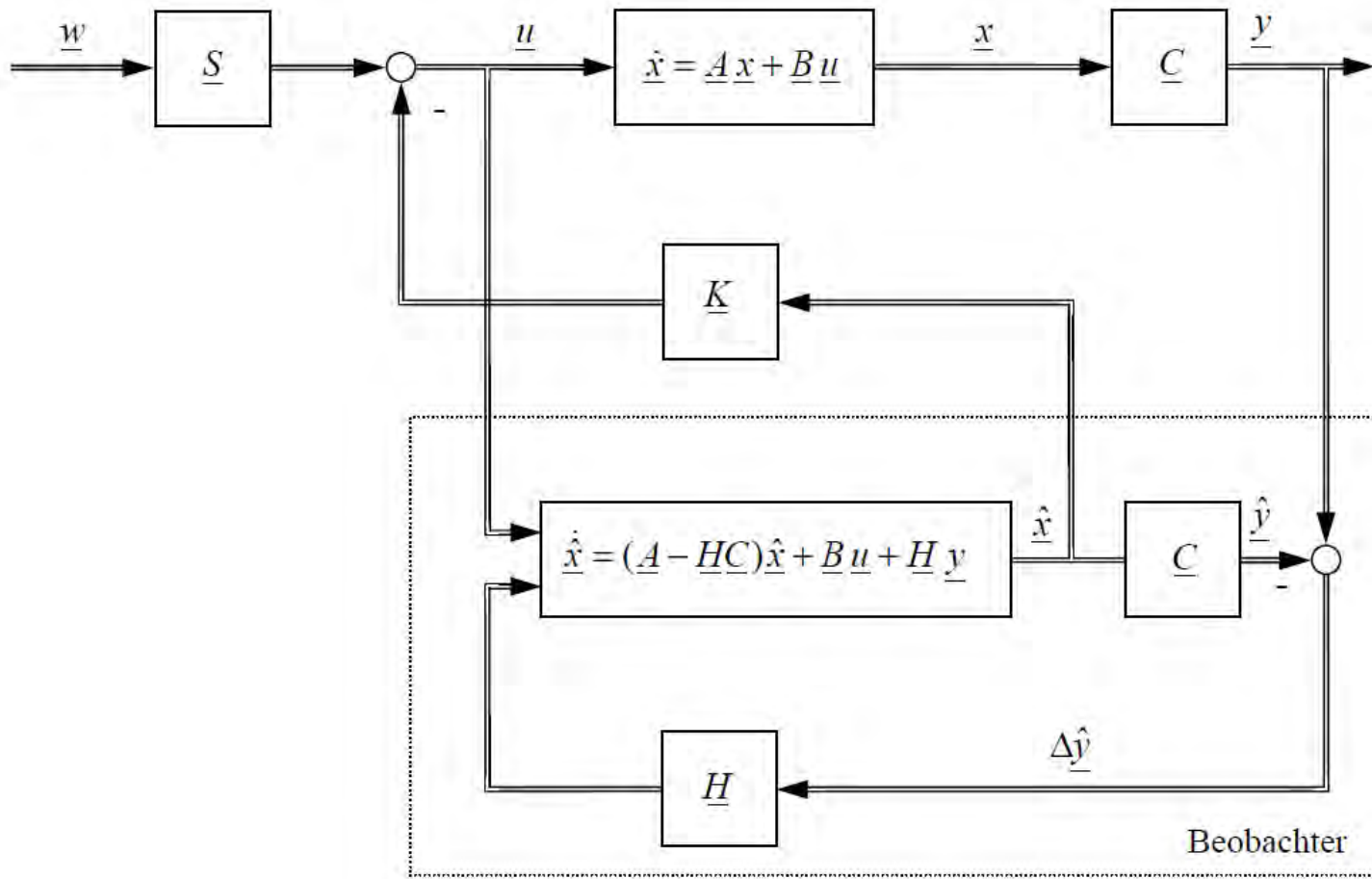
$$b_4 = -\frac{m \cdot l \cdot k_M \cdot k_G}{R_M \cdot r_{\text{Antrieb}}^2 \cdot (J \cdot (M + m) - m^2 \cdot l^2)}$$

# Überblick

- Modellierung des Pendels
- Beobachterentwurf
- lineare Zustandsregler
  - Riccati-Regler (LQ-Regler)
  - PI-Zustandsregler
- Zusammenfassung Praktikumsversuch
- Ausblick auf nichtlineare Regelung



## Beobachterentwurf

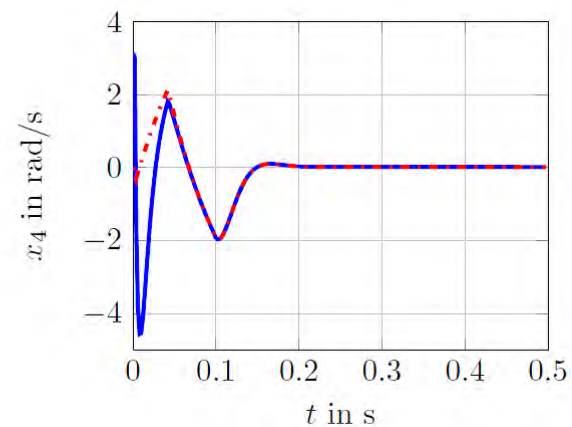
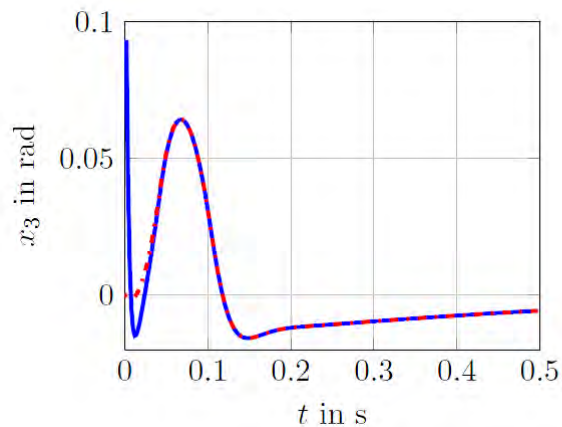
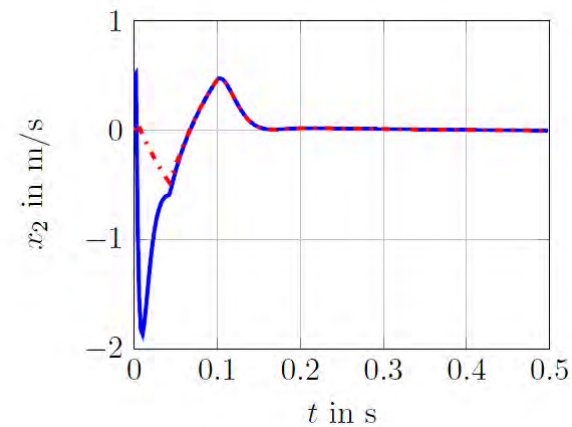
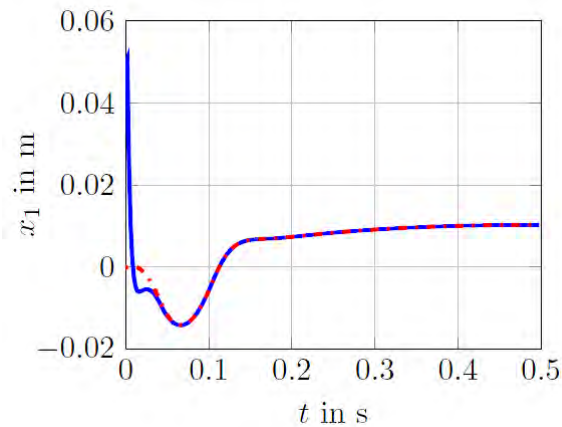


Beobachterentwurf  
mittels Polvorgabe:

$$\det \lambda \cdot \underline{I} - \underline{A} + \underline{H} \cdot \underline{C} = \prod_{i=1}^n (\lambda - p_i)$$



## Beobachterentwurf: Validierung



Anfangszustände der Regelstrecke (Simulation):  $\underline{x}_0 = \underline{0}$

Anfangszustände des Beobachters (Simulation):  $\hat{\underline{x}}_0^T = \begin{bmatrix} 0,05 & 0,5 & 0,087 & \pi \end{bmatrix}$

# Überblick

- Modellierung des Pendels
- Beobachterentwurf
- lineare Zustandsregler
  - Riccati-Regler (LQ-Regler)
  - PI-Zustandsregler
- Zusammenfassung Praktikumsversuch
- Ausblick auf nichtlineare Regelung



## Lineare Zustandsregler: Riccati-Regler (LQ-Regler)

### Lineare Regler:

- nur gültig in kleiner Umgebung der oberen Ruhelage, aber für beliebige Position (Wagenbewegung linear)
- Regler kann Beschränkungen (kleiner Winkel, Ende der Schiene, begrenzte Motorkraft) nicht berücksichtigen

### Riccati-Regler (LQ-Regler):

Berechnung des Reglers durch Minimierung eines Gütemaßes

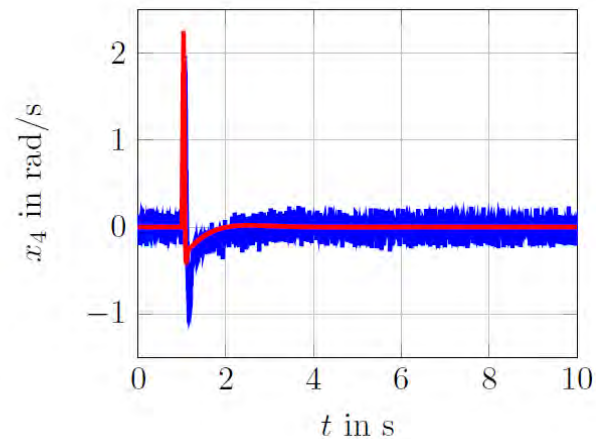
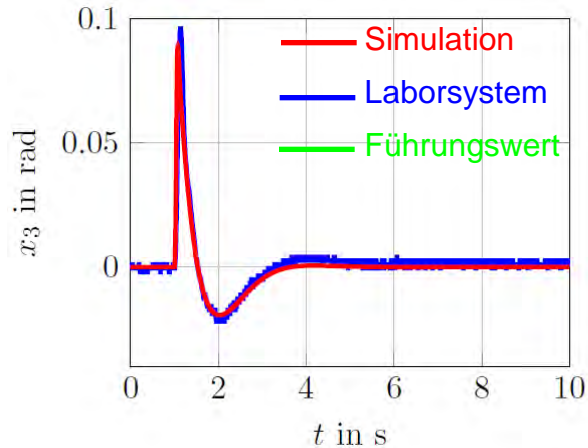
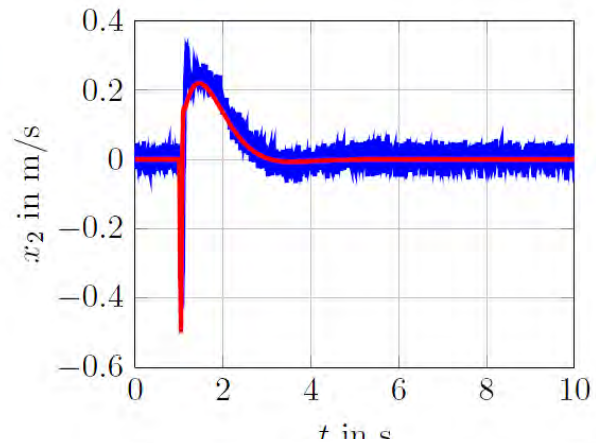
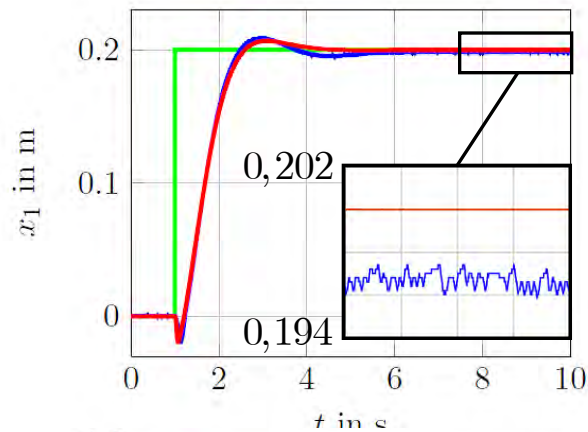
$$J = \int_0^{\infty} \underline{x}^T \cdot \underline{Q} \cdot \underline{x} + u \cdot R \cdot u \, dt$$

Bewertung des zeitlichen Verlaufs der Zustandsgröße und der Stellgröße

gezielte Beeinflussung über Gewichtungen  $\underline{Q}$  und  $R$  möglich

- beim Pendel Position und Winkel stark gewichtet

## Lineare Zustandsregler: Riccati-Regler (LQ-Regler)



→ in  $x_1$  nicht stationär genau

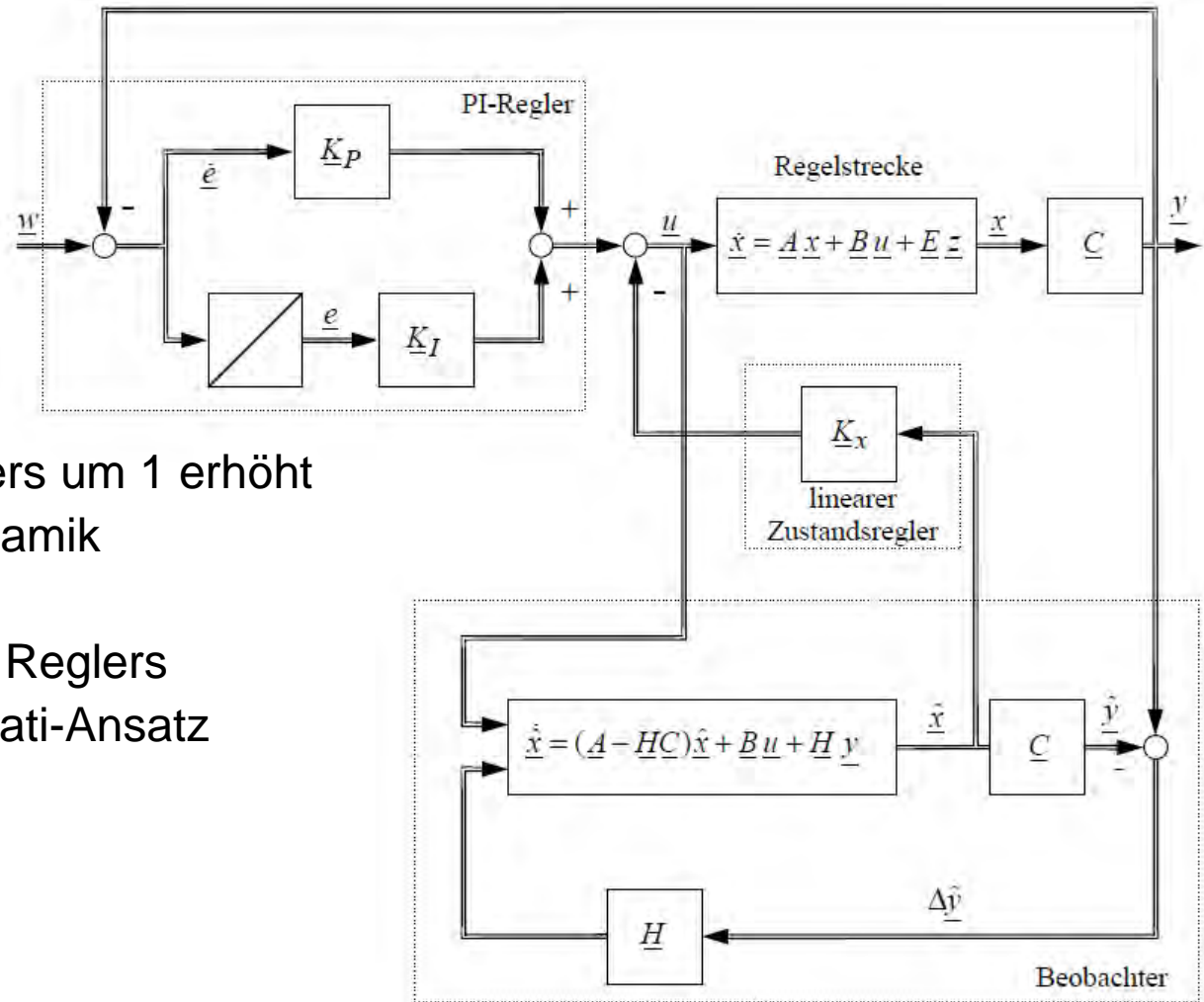


## Lineare Zustandsregler: PI-Zustandsregler

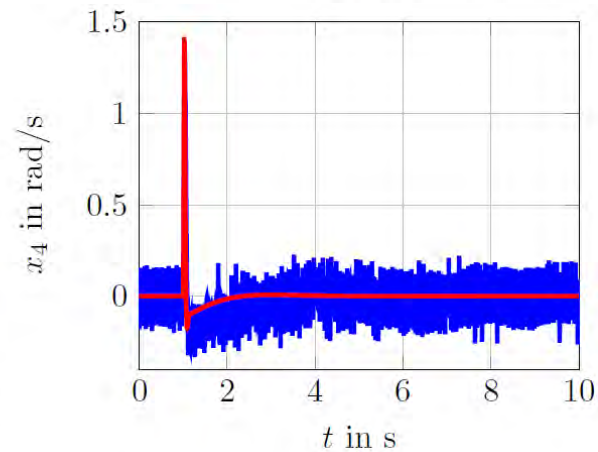
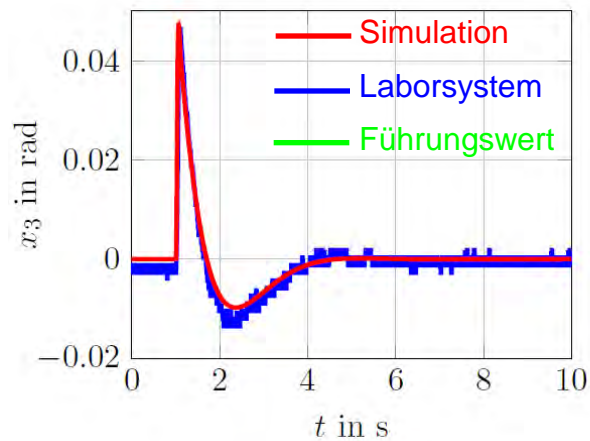
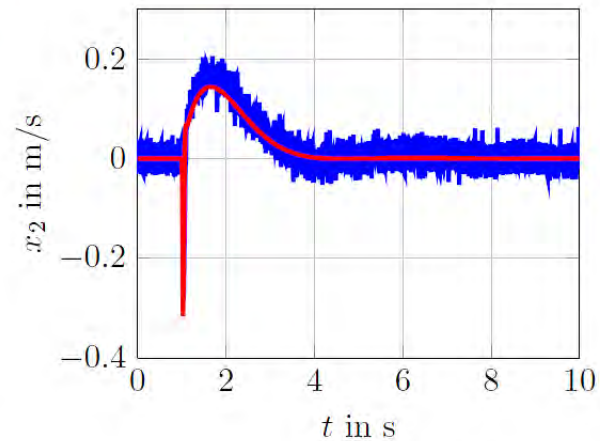
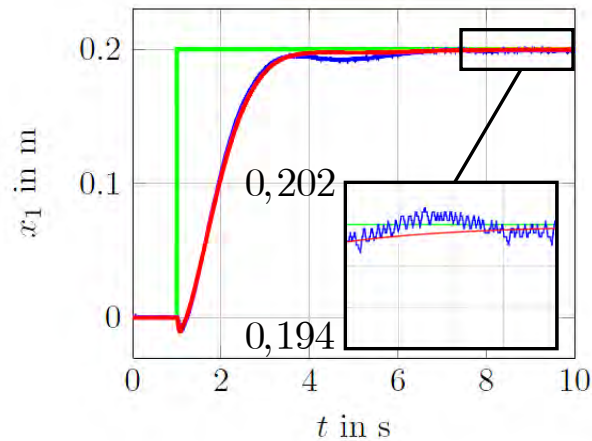
zusätzlicher  
PI-Regler für  
stationäre  
Genauigkeit

Ordnung des Reglers um 1 erhöht  
→ langsamere Dynamik

Entwurf des neuen Reglers  
ebenfalls über Riccati-Ansatz



# Lineare Zustandsregler: PI-Zustandsregler



# Überblick

- Modellierung des Pendels
- Beobachterentwurf
- lineare Zustandsregler
  - Riccati-Regler (LQ-Regler)
  - PI-Zustandsregler
- Zusammenfassung Praktikumsversuch
- Ausblick auf nichtlineare Regelung



## Zusammenfassung Praktikumsversuch

### Aufgaben und Ziele für Studenten:

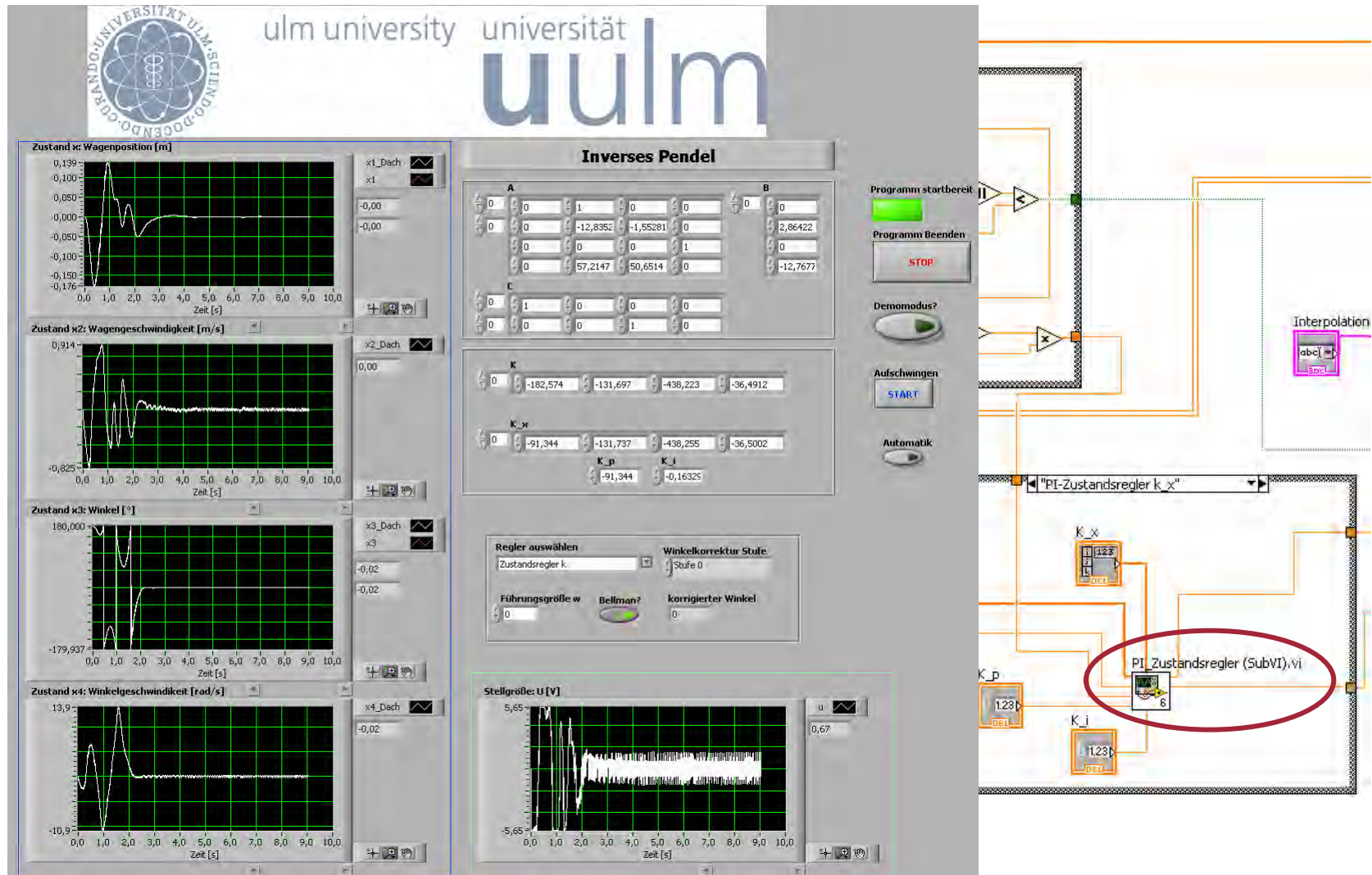
- Herleitung des Modells
- praktische Umsetzung linearer Regler in LabVIEW
- direktes Erfahren der Grenzen linearer Regler bei nichtlinearen Systemen
- Kennenlernen und Anwenden von LabVIEW und PXI-Hardware als Rapid-Prototyping-/HiL-Umgebung

### Umsetzung in LabVIEW:

- Grundgerüst des Programms (Hardware-Ansteuerung, Beobachter,...) vorgegeben → nur Regler müssen eingefügt werden
- Frontpanel ebenfalls vorgegeben zur schnelleren Visualisierung der Ergebnisse

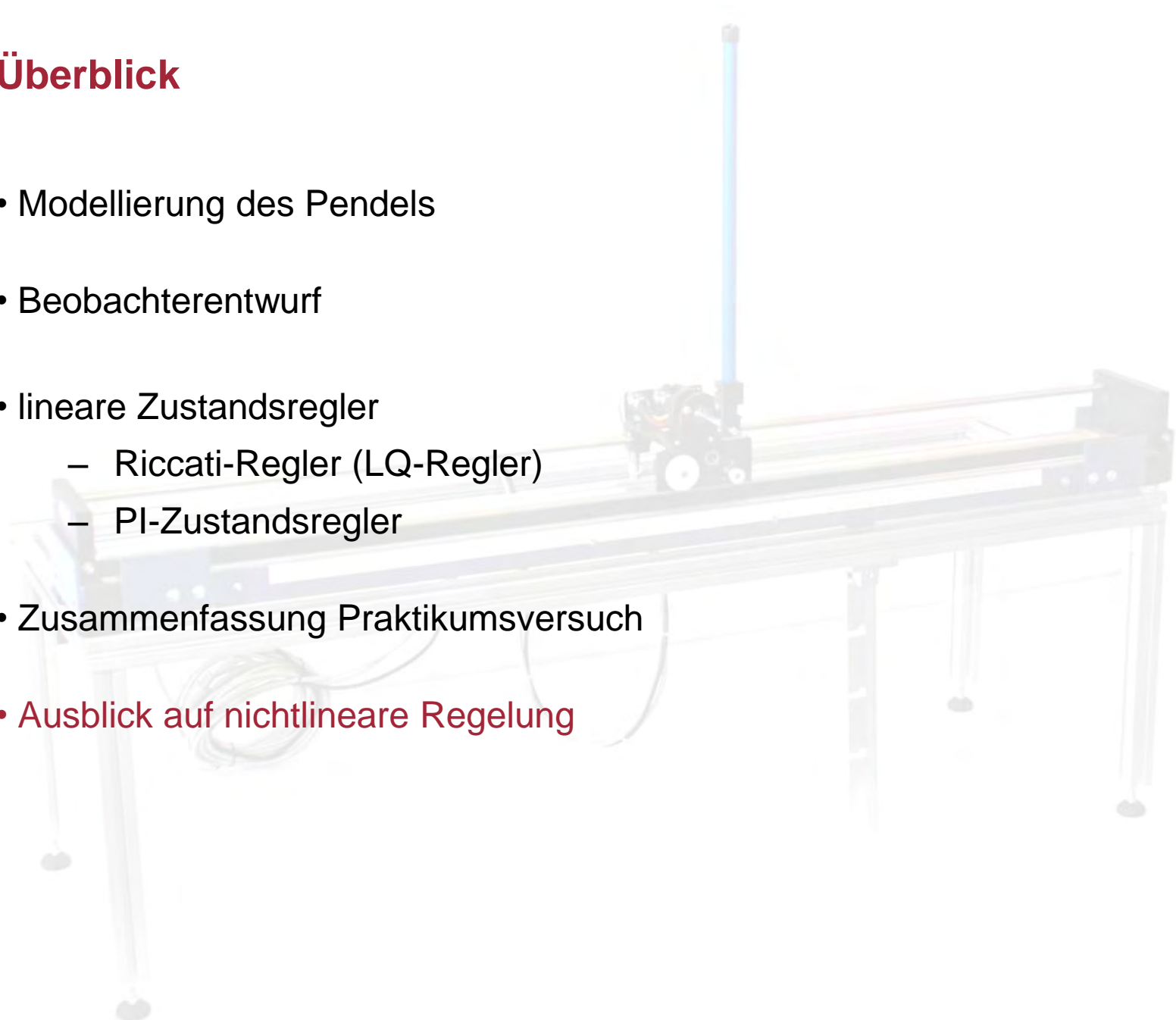


# Zusammenfassung Praktikumsversuch



# Überblick

- Modellierung des Pendels
- Beobachterentwurf
- lineare Zustandsregler
  - Riccati-Regler (LQ-Regler)
  - PI-Zustandsregler
- Zusammenfassung Praktikumsversuch
- Ausblick auf nichtlineare Regelung



# Nichtlineare Regelung des inversen Pendels

**Ziel:** Aufschwingen des Pendels

Auswahl möglicher Verfahren:

- Umschalten zwischen zwei linearen Reglern
- Reglerberechnung mittels dynamischer Programmierung
- modellprädiktive Regelung

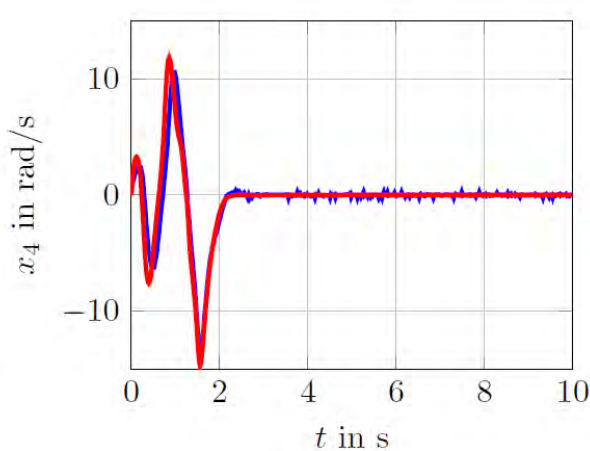
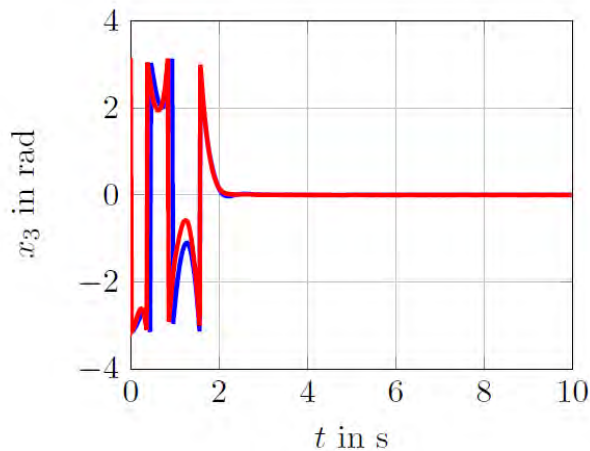
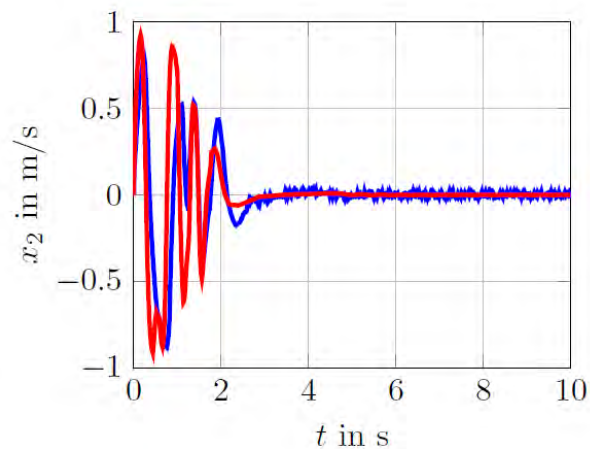
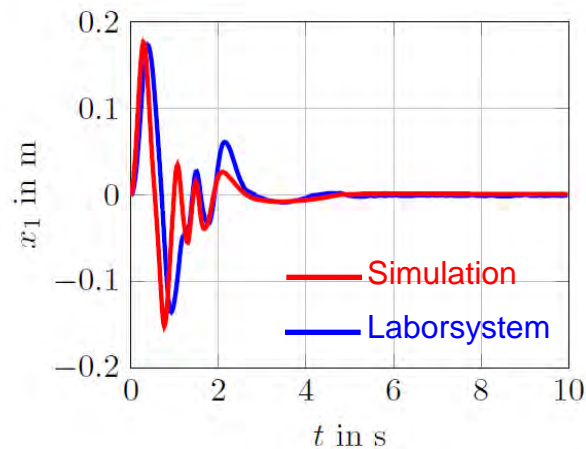
**Hier:** Anwendung der **dynamischen Programmierung**

Grundidee: Für jeden Punkten vorab die Stellgröße berechnen, die optimal in den gewünschten Endpunkt führt

- hoher Offline-Aufwand
- Ergebnis: Kennfeld für schnelle Online-Regelung
- explizite Berücksichtigung von Beschränkungen
- Regler nur für festen Endpunkt (ggf. Umschalten auf linearen Regler)

# Nichtlineare Regelung des inversen Pendels: Dynamische Programmierung

Überführung des Pendelstabs aus der unteren in die obere Ruhelage





## Regelung eines inversen Pendels

Kontakt: [michael.buchholz@uni-ulm.de](mailto:michael.buchholz@uni-ulm.de)